

## 11-1 مقدمه (روابط پایه):

در عمل مسائل مهندسی زیادی وجود دارد، که در آنها توزیع تنش‌ها حول یک محور متقارن می‌باشد. باید توجه داشت که این بیان در صورتی صحیح است که بارگذاری نسبت به محور متقارن باشد. درنتیجه تحلیل این مسائل معمولاً تحت نام اعضاء تحت متقارن محوری<sup>1</sup> انجام می‌گیرد. از جمله این مسائل می‌توان، پوسته استوانه‌ای جصخیم، و دیسک دوار را نام برد.

یک ورق نازک و بزرگ، با سوراخ کوچک و تحت فشار یکنواخت مطابق شکل (1) درنظر گرفته می‌شود. باید توجه داشت که در امتداد محور باری وجود ندارد و در نزد  $\sigma_z = 0$  می‌باشد. در این حالت تنش‌ها حول محور  $z$  متقارن هستند و همچنین نیز مکانها نیز به  $\theta$  بستگی نخواهند داشت. در ضمن به علت تقارن تنش برشی  $\tau_{r\theta}$  نیز صفر باشد. در اینصورت رابطه تعادل محورهای قطبی (18-4) به صورت زیر خواهد بود:

$$+ \frac{\sigma_r - \sigma_\theta}{r} + F_r = 0 \quad (11-1)$$

در این رابطه  $\sigma_\theta$  تنش محیطی (مماسی)،  $\sigma_r$  تنش شعاعی، و  $F_r$  مؤلفه شعاعی نیز حجمی می‌باشد. در صورتی که نیروی حجمی صفر باشد، رابطه (11-1) بصورت درمی‌آید:

$$+ \frac{\sigma_r - \sigma_\theta}{r} = 0 \quad (11-2)$$

## 2- 11- پوسته‌های استوانه‌ای جدار ضخیم:

پوسته‌های استوانه‌ای در مسائل مهندسی به پوسته‌های جدار نازک و جدار ضخیم تقسیم می‌شوند. در پوسته استوانه‌ای جدار نازک، با توجه به محدودیت‌هایی، تنش محیطی در امتداد ضخامت ثابت فرض می‌شود. وقتی این پوسته تحت فشار داخلی قرار دارد، تنش محیطی در آن برابر است با؛

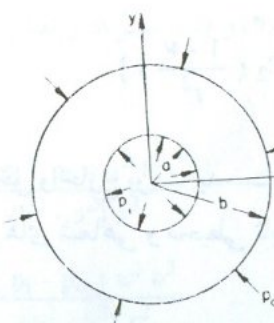
$$\sigma_\theta = \frac{Pr}{t}$$

که در آن؛  $P$  فشار داخلی،  $t$  شعاع متوسط، و  $\sigma$  ضخامت پوسته است. اگر نسبت ضخامت به شعاع تقریباً 10% بیشتر باشد، پوسته جدار ضخیم نامیده می‌شود، و در این حالت تغییرات تنش‌ها در امتداد ضخامت قابل صرف‌نظر کردن نیست (مثال ۱۱-۱).

در پوسته استوانه‌ای جدار ضخیم تحت فشار داخلی و خارجی یکنواخت، تغییر شکل حول محور  $z$  یکنواخت است. در تیجه روابط تعادل و کرنش - تغییر مکان، روابط (۱۱- ۲) و (۱۱- ۳)، برای حلقه‌ای بطول واحد که از پوسته بریده شده است، شکل (۱۱- 2)، صادق می‌باشد. بافرض اینکه دو انتهای پوسته آزاد است،  $0 = \sigma_z$  بوده، و طبق قانون هوک کرنش‌ها برابر خواهند شد با؛

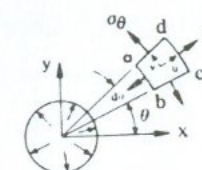
$$\frac{du}{dr} = \frac{1}{E} (\sigma_r - \nu \sigma_\theta) \quad (11- 5)$$

$$\frac{u}{r} = \frac{1}{E} (\sigma_\theta - \nu \sigma_r)$$



شکل (11- 2)

(هول لحیان) همچنین ۱-۱۱



شکل (11- 1)

حال تغییر مکانهای شعاعی و محیطی بترتیب  $u$  و  $\theta$  در نظر گرفته می‌شوند. با توجه به تقارن، تغییر مکان محیطی وجود نداردو به عبارت دیگر  $0 = \theta$  است. در این صورت یک نقطه، که در شکل با المان کوچک abcd مشخص شده است، فقط حرکت شعاعی خواهد داشت. با توجه به رابطه (۱۱- 4) کرنش‌ها برابر خواهند شد با؛

$$\epsilon_r = \frac{du}{dr} \quad \epsilon_\theta = \frac{u}{r} \quad \psi_{r\theta} = 0 \quad (11- 3)$$

با قراردادن  $r = u$  در عبارت اول رابطه (۱۱- 3)، رابطه سازش زیر بدست می‌آید؛

$$\frac{du}{dr} - \epsilon_r = \frac{d}{dr} (r \epsilon_\theta) - \epsilon_r = 0$$

$$r \frac{d \epsilon_\theta}{dr} + \epsilon_\theta - \epsilon_r = 0 \quad (11- 4)$$

رابطه تعادل [رابطه (۱۱- 1) یا (۱۱- 2)]، رابطه کرنش تغییر مکان یا رابطه سازش [رابطه (۱۱- 3) یا (۱۱- 4)]، و قانون هوک برای حل مسائل متقاضی محوری، با توجه به شرایط مرزی کفایت می‌کنند.

از رابطه (11-5) تنش برابر خواهد شد با؛

$$\sigma_r = \frac{E}{1-\nu^2} (\varepsilon_r + \nu \varepsilon_\theta) = \frac{E}{1-\nu^2} \left( \frac{du}{dr} + \nu \frac{u}{r} \right) = 0$$

$$\sigma_\theta = \frac{E}{1-\nu^2} (\varepsilon_\theta + \nu \varepsilon_r) = \frac{E}{1-\nu^2} \left( \frac{u}{r} + \nu \frac{du}{dr} \right) = 0 \quad (11-6)$$

با قراردادن تنش ها از رابطه (11-6) در رابطه تعادل (2-11) معادله دیفرانسیل زیر برای تغییر مکان شعاعی بدست می آید؛

$$\frac{d^2 u}{dr^2} + \frac{1}{r} \frac{du}{dr} - \frac{u}{r^2} = 0 \quad (11-7)$$

که با حل آن  $u$  برابر خواهد شد با؛

$$u = C_1 r + \frac{C_2}{r} \quad (a)$$

با ترکیب روابط (a) و (11-6)، تنش های شعاعی و محیطی بر حسب ثابت های  $C_1$  و  $C_2$  برابر می شوند با؛

$$\sigma_r = \frac{E}{1-\nu^2} [ C_1 (1+\nu) - C_2 \left( \frac{1-\nu}{r^2} \right) ] \quad (b)$$

$$\sigma_\theta = \frac{E}{1-\nu^2} [ C_1 (1+\nu) + C_2 \left( \frac{1-\nu}{r^2} \right) ] \quad (c)$$

ثابت ها بر حسب شرایط داخل و خارج پوسته بدست می آیند. دیده می شود که جمع تنش های شعاعی و محیطی ثابت است؛

$$\sigma_r + \sigma_\theta = 2 EC_1 / (1-\nu)$$

درنتیجه کرنش طولی نیز مقدار ثابتی است؛

$$\varepsilon_z = -\frac{\nu}{E} (\sigma_r + \sigma_\theta) = \text{Constant}$$

این بدان مفهوم است که سطوح مستوی اولیه، مستوی باقی می مانند. تنش طولی برابر است با؛

$$\sigma_z = E \varepsilon_z = \text{Constant} = C$$

اگر دو انتهای استوانه آزاد باشد؛

$$\int_a^b \sigma_z 2 \pi r dr = \pi c (b^2 - a^2) = 0$$

یا  $\sigma_z = 0$ ، طبق آنچه که قبل فرض شد.

برای یک استوانه تحت فشار داخلی  $P_i$  و فشار خارجی  $P_o$ ، شرایط مرزی عبارت خواهد بود از؛

$$(\sigma_r)_{r=a} = -P_i \quad \text{و} \quad (\sigma_r)_{r=b} = -P_o \quad (d)$$

که علامت منفی نشانده تنش فشاری است. با قراردادن شرایط (d) در رابطه (b)، ثابت ها برابر می شوند با؛

$$C_1 = \frac{1-\nu}{E} \frac{a^2 p_i - b^2 P_o}{b^2 - a^2} \quad \text{و} \quad C_2 = \frac{1+\nu}{E} \frac{a^2 b^2 (p_i - P_o)}{b^2 - a^2} \quad (e)$$

با قراردادن ثابت ها در روابط (a) و (b) و (c)، تنش ها و تغییر مکان شعاعی بصورت زیر بدست می آیند؛

$$\sigma_r = \frac{a^2 p_i - b^2 P_o}{b^2 - a^2} - \frac{(p_i - P_o) a^2 b^2}{(b^2 - a^2) r^2}$$

$$\sigma_\theta = \frac{a^2 p_i - b^2 P_o}{b^2 - a^2} + \frac{(p_i - P_o) a^2 b^2}{(b^2 - a^2) r^2}$$

$$u = \frac{1-\nu}{E} \frac{(a^2 p_i - b^2 P_o) r}{b^2 - a^2} + \frac{1+\nu}{E} \frac{(p_i - P_o) a^2 b^2}{(b^2 - a^2) r}$$

این روابط اولین بار توسط G. Lame' بدست آمد و بهمین نام نامیده می شود. ماگزیم مقادار  $\sigma_r$  بستگی به مقادیر  $P_i$  و  $P_0$  دارد. اگر  $P_i > P_0$  باشد،  $\sigma_{r_{\max}} = \sigma_{r_{\max}}$  در شعاع a اتفاق می افند و برابر  $P_i$  است. در حالت  $P_0 > P_i$ ،  $|\sigma_{r_{\max}}| = P_0$  می باشد. تنش محیطی ماگزیم و محل آن در قسمت (11-3) مورد بحث قرار می گیرد.

تنش برتری ماگزیم، نصف تفاوت مقادیر جبری تنش های اصلی است. درنتیجه در هر نقطه از استوانه،  $\tau_{\max}$  برابر می شود با:

$$\tau_{\max} = \frac{1}{2} (\sigma_\theta - \sigma_r) = \frac{(P_i - P_0) a^2 b^2}{(b^2 - a^2) r^2} \quad (11-9)$$

بیشترین  $\tau$  در  $r = a$  اتفاق می افتد. از رابطه (9-11) پیدا است که با کم کردن  $P_0$ ، تنش برتری از دیاد می یابد. درنتیجه بزرگترین مقادار  $\tau_{\max}$  در  $r = a$  و  $P_0 = 0$  بوده و برابر خواهد شد با:

$$\tau_{\max} = \frac{P_i b^2}{(b^2 - a^2)} \quad (11-10)$$

چون  $\sigma_r$  و  $\sigma_\theta$  تنش های اصلی هستند،  $\tau_{\max}$  در صفحه ای با زاویه  $45^\circ$  نسبت به  $\sigma_r$  و  $\sigma_\theta$  عمل می کند.

### حالات های خاص:

(a) پوسته استوانه ای تحت فشار داخلی:

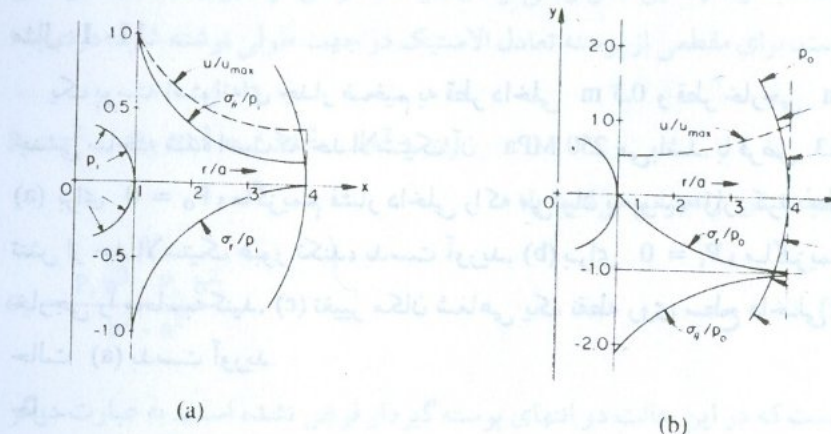
اگر پوسته فقط تحت فشار داخلی باشد،  $P_0 = 0$ ، رابطه (8-8) بصورت زیر در می آید:

$$\sigma_r = \frac{a^2 P_i}{(b^2 - a^2)} \left(1 - \frac{b^2}{r^2}\right) \quad (11-11)$$

$$\sigma_\theta = \frac{a^2 P_i}{(b^2 - a^2)} \left(1 + \frac{b^2}{r^2}\right) \quad (11-12)$$

$$u = \frac{a^2 P_i r}{E(b^2 - a^2)} \left[ (1 - \nu) + (1 + \nu) \frac{b^2}{r^2} \right] \quad (11-13)$$

چون  $\frac{b^2}{r^2} \geq 1$  است،  $\sigma_r$  بجز در  $r = b$  که مقدار آن صفر است، همیشه منفی (فشاری) می باشد. این تنش در  $r = a$  ماگزیم مقادار خود را دارد. برای همه شعاعها مثبت (کششی) بوده و در  $r = a$  ماگزیم مقادار خود را دارد. در حالت  $0 = P_0 = 4$ ، برای  $\frac{b}{a} = 2$ ، توزیع تنش ها و تغییر مکان بی بعد در مقابل شعاع بی بعد در شکل (11-3a) نشان داده شده است.



شکل (11-3)

(b) پوسته استوانه ای تحت فشار خارجی:

در این حالت  $P_i = 0$  است و رابطه (8-8) بصورت زیر در می آید:

$$\sigma_r = -\frac{P_0 b^2}{b^2 - a^2} \left(1 - \frac{a^2}{r^2}\right) \quad (11-13)$$

$$\sigma_\theta = -\frac{P_0 b^2}{b^2 - a^2} \left(1 + \frac{a^2}{r^2}\right) \quad (11-14)$$

(c) از رابطه (11- 12) نتیجه می‌شود؛

$$r=a = \frac{0.15^3 \times 70 \times 10^6}{E(0.2^2 - 0.15^2)} [0.7 + 1.3 \frac{0.2^2}{0.15^2}] = \frac{4.065 \times 10^7}{E} \text{ m}$$

در حالتی که پوسته دو سر بسته است، و تحت فشارهای داخلی و خارجی قرار دارد علاوه بر تنش‌های شعاعی و محیطی در جهت  $z$  نیز تنش وجود دارد. برای مقطعی فاصله مناسب از انتهای، این تنش را می‌توان یکنواخت فرض کرد. برای محاسبه این تنش کافی است، برای مقطعی از پوسته تعادل الاستیک در جهت طولی نوشته شود. درنتیج

$$\pi a^2 - P_0 \pi b^2 = (\pi b^2 - \pi a^2) \sigma_z$$

از این رابطه تنش  $\sigma_z$  برابر می‌شود با؛

$$z = \frac{P_i a^2 - P_0 b^2}{b^2 - a^2} \quad (11- 18)$$

واضح است که در این حالت دو انتهای پوسته گیردار فرض نشده است. به عبارت دیگر  $\epsilon_z \neq 0$  می‌باشد. (به مسئله 10- 11 مراجعه شود).

### 11- 3 تنش محیطی مأگزیم:

بطوری که از شکل (3- 11) پیدا است، در هر دو حالت فشار داخلی تنها و فشار خارجی تنها، مأگزیم تنش محیطی در لایه‌های داخلی،  $a = r$ ، اتفاق می‌افتد. بهر حال این نتیجه برای حالتی که فشار داخلی و فشار خارجی همزمان وارد می‌آیند صادق نیست. بطوری که در قسمت زیر نشان داده خواهد شد، حالتی که پیش می‌آید که مأگزیم تنش محیطی در  $b = r$  رخ می‌دهد.

یک پوسته جدار ضخیم مطابق شکل (2- 11) درنظر گرفته می‌شود. فرض می‌شود پوسته تحت فشارهای داخلی  $P_i$  و فشار خارجی  $P_0$  قرار دارد. نسبت  $\frac{P_0}{P_i}$  با  $R$ ،  $\frac{b}{a}$  با  $r$ ،  $\frac{a^2}{b^2}$  با  $\frac{r^2}{b^2}$  و نسبت تنش محیطی در سطح داخلی به تنش محیطی در سطح خارجی با  $S$  نشان داده

$$u = \frac{-b^2 P_0 r}{E(b^2 - a^2)} [(1 - \nu) + (1 + \nu) \frac{a^2}{r^2}] \quad (11- 15)$$

تنش شعاعی همیشه فشاری است و در  $b = r$  مأگزیم است. تنش محیطی نیز فشاری است و در  $a = r$  مأگزیم مقدار خود را دارد. تغییرات تنش‌ها و تغییر مکان، برای حالت  $4 = \frac{b}{a}$ ، در شکل (11- 3b) نشان داده شده است.

### مثال 11- 1

یک پوسته استوانه‌ای جدار ضخیم به قطر داخلی 0.3 m و قطر خارجی 0.4 m از جنسی ساخته شده است که حد الاستیک آن 250 MPa می‌باشد. با فرض  $\gamma = 0.3$  (a) برای  $P_0 = 0$ ، مأگزیم فشار داخلی را که می‌توان به پوسته وارد کرد، بطوری که تنش از حد الاستیک عبور نکند، بدست آورید. (b) برای  $P_i = 0$ ، مأگزیم فشار خارجی را محاسبه کنید. (c) تغییر مکان شعاعی یک نقطه روی سطح داخلی را برای حالت (a) بدست آورید.

حل -

(a) از رابطه (11- 11)، برای  $a = r$ ، نتیجه می‌شود؛

$$\sigma_{\theta \max} = P_i \frac{b^2 + a^2}{b^2 - a^2} \quad (11- 16)$$

$$P_i = \sigma_{\theta \max} \frac{b^2 - a^2}{b^2 + a^2} = (250 \times 10^6) \frac{0.2^2 - 0.15^2}{0.2^2 + 0.15^2} = 70 \text{ MPa}$$

(b) از رابطه (11- 14)، برای  $a = r$ ، نتیجه می‌شود؛

$$\sigma_{\theta \max} = -2 P_0 \frac{b^2}{b^2 - a^2} \quad (11- 17)$$

$$P_0 = -\sigma_{\theta \max} \frac{b^2 - a^2}{2 b^2} = -(-250 \times 10^6) \frac{0.2^2 - 0.15^2}{(2) 0.2^2} = 54.7 \text{ MPa}$$

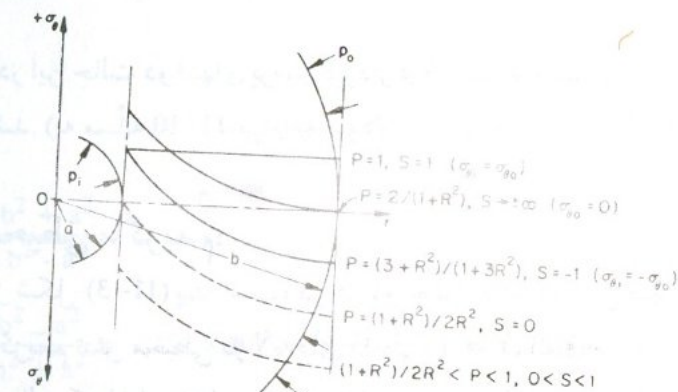
می شود. در این صورت تنش محیطی از رابطه (8-11) بصورت زیر در می آید:

$$\sigma_\theta = P_i \frac{1 - PR^2}{R^2 - 1} + P_i b^2 \frac{1 - P}{(R^2 - 1)r^2} \quad (a)$$

در نتیجه:

$$S = \frac{\sigma_{\theta i}}{\sigma_{\theta 0}} = \frac{1 + R^2(1 - P)}{1 + (1 - P)} / \frac{1 - PR^2}{1 - PR^2} \quad (11-19)$$

تغییر تنش محیطی در امتداد ضخامت پوسته، برای چند مقدار S و P در شکل (11-4) نشان داده شده است. توجه داشته باشید که برای نسبت های فشار P که با خط چین نشان داده شده است، تنش محیطی ماگزیم در سطح خارجی پوسته اتفاق می افتد.



شکل (11-4)

**11-4 کاربرد تئوریهای تسلیم:**  
در بسیاری موارد، برای طرح پوسته جدار ضخیم، لازم است امکان نارسانی و شکل

نارسانی برآورد گردد. در تیجه، در حالی که با مراجعه به شکل (4-11) می توان پیش‌بینی کرد که تسلیم از داخل و یا خارج شروع می شود، باید بتوان فشار یا تنش‌های تسلیم را برآورد کرد. بدین منظور باید با توجه به مقدار تنش‌ها طبق رابطه (8-11)، مقاومت جسم، و انتخاب تئوری مناسب، این خواسته‌ها را محاسبه نمود.

## مثال 11-2

یک پوسته استوانه‌ای فولادی تحت فشار داخلی و خارجی قرار دارد، و نسبت فشار داخلی به فشار خارجی چهار است. مقاومت الاستیک کششی فولاد،  $\sigma_{yp} = 340 \text{ MPa}$ ، و مقاومت الاستیک برشی آن،  $\tau_{yp} = \sigma_{yp} / 2 = 170 \text{ MPa}$  می باشد. ابعاد پوسته عبارتند از  $a = 0.15 \text{ m}$  و  $b = 0.3 \text{ m}$  و  $a = 0.1 \text{ m}$  و  $b = 0.3 = \gamma$  است. تنش داخلی مجاز را با توجه به تئوریهای مختلف نارسانی برآورد نمائید.  
حل - تنش‌های ماگزیم در لایه داخلی اتفاق می افتد. از رابطه (8-11)، برای  $a = r$  و  $P_i = 4P_0$  نتیجه خواهد شد:

$$\sigma_\theta = \frac{P_i(a^2 + b^2) - 2P_0b^2}{b^2 - a^2} = 1.7P_i \quad \text{و} \quad \sigma_r = -P_i \quad (a)$$

حال با توجه به تئوریهای مختلف تسلیم، مقدار فشار داخلی برای شروع تسلیم محاسبه می شود:

(a) تئوری ماگزیم تنش اصلی:

$$1.7P_i = 340 \times 10^6 \quad P_i = 200 \text{ MPa}$$

(b) تئوری ماگزیم تنش برشی:  
 $\sigma_\theta - \sigma_r = 1.35 P_i = 170 \times 10^6 \text{ MPa}$  و  $P_i = 125.9 \text{ MPa}$

(c) تئوری ماگزیم انرژی تغییر شکل:  
 $\sigma_{yp} = (\sigma_\theta^2 + \sigma_r^2 - \sigma_\theta \sigma_r)^{1/2} = P_i [(1.7)^2 + (-1)^2 - (-1.7)]^{1/2}$

از سردشدن در سطح تماس دو پوسته فشار  $P$ ، بنام فشار جازدن، ایجاد می‌شود، و آنرا می‌توان با استفاده از روابط قسمت 2-11 محاسبه نمود. مثالهایی از پوسته‌های مرکب که می‌تواند فشارهای خیلی زیاد تحمل نماید، را می‌توان در کمپرسورها، پرسهای اکستروژن، و امثال آن مشاهده نمود.

یک پوسته مرکب مطابق شکل (11-5a) درنظر گرفته، فرض می‌شود در حالت بدون تنش، شعاع خارجی پوسته داخلی باندازه  $\delta$  از شعاع داخلی پوسته خارجی بیشتر باشد. مقدار  $\delta$  بنام «فاصله جازدن» نامیده می‌شود. پس از جازدن در سطح تماس فشار  $P$  ایجاد می‌شود. مقدار فشار باندازه‌ای است که جمع تغییر شعاع خارجی پوسته داخلی و شعاع داخلی پوسته خارجی برابر  $\delta$  خواهد شد. با بحث فوق و با استفاده از روابط (11-12) و (11-15) نتیجه خواهد شد؛

$$\delta = \frac{bP}{E} \left( \frac{b^2 + c^2}{c^2 - b^2} + \nu \right) + \frac{bP}{E} \left( \frac{a^2 + b^2}{b^2 - a^2} - \nu \right) \quad (11-20)$$

از این رابطه، فشار  $P$  بر حسب  $\delta$  بصورت زیر بدست می‌آید؛

$$P = \frac{E \delta}{b} \cdot \frac{(b^2 - a^2)(c^2 - b^2)}{2b^2(c^2 - a^2)} \quad (11-21)$$

تنش‌ها در پوسته خارجی با استفاده از روابط (10-11) و (11-11)، و با درنظر گرفتن  $P_0 = P_i$  بدست می‌آید. تنش در پوسته داخلی نیز از روابط (13-11) و (14-11)، با درنظر گرفتن  $P_0 = P_i$  و  $P_0 = P$  محاسبه می‌شود.

### مثال 3

یک پوسته مرکب با  $E = 200 \text{ Gpa}$ ,  $c = 250 \text{ mm}$ ,  $b = 200 \text{ mm}$ ,  $a = 150 \text{ mm}$  تحت فشار داخلی  $140 \text{ MPa}$  و  $\delta = 0.1 \text{ mm}$  مرکب را بدست آورید.

حل - قبل از اعمال فشار داخلی، فشار جازدن از رابطه (21-11) برابر است با؛

$$2.364 P_i = 340 \times 10^6 \quad \text{و} \quad P_i = 143.8 \text{ MPa}$$

(d) تئوری ماگزیم کرنش اصلی:

$$\frac{1}{E} (\sigma_\theta - \nu \sigma_r) = \frac{340 \times 10^6}{E} = \frac{2}{E} P_i$$

$$P_i = 170 \text{ MPa}$$

(e) تئوری تنش برش هشت وجهی:

$$\frac{\sqrt{2}}{3} \sigma_{yp} = \frac{1}{3} [(\sigma_\theta - \sigma_r)^2 + (\sigma_r)^2 + (-\sigma_\theta)^2]^{1/2}$$

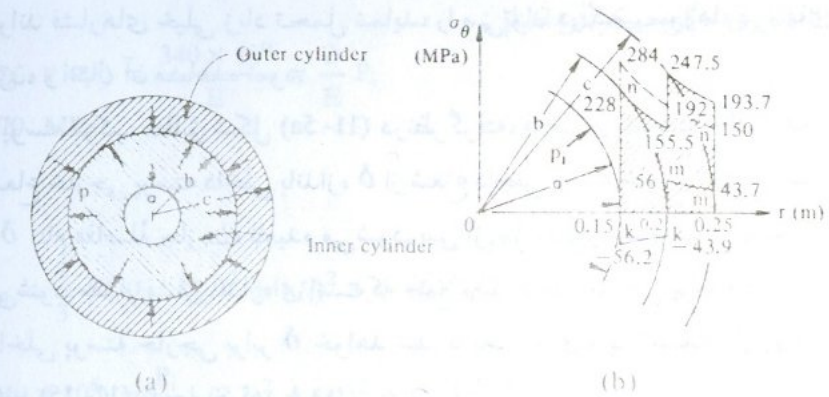
$$\frac{\sqrt{2}}{3} (340 \times 10^6) = \frac{P_i}{3} [(2.7)^2 + (-1)^2 + (-1.7)^2]^{1/2}$$

$$P_i = 143.8 \text{ MPa}$$

نتایج دو حالت (c) و (e) همانطور که انتظار می‌رفت برابر هستند. چون پوسته از فولاد نرم ساخته شده است، برای عبور از حد الاستیک، تئوری ماگزیم تنش برشی کاربرد دارد. در نتیجه حد فشار داخلی 125.9 MPa است و در طراحی باید ضریب اطمینان لازم را در نظر گرفت.

### 5-11 پوسته‌های استوانه مرکب؛

اگر طراحی صحیح انجام شود، در فشارهای نسبتاً زیاد، پوسته‌های استوانه‌ای مرکب نسبت به یک پوسته تنها راندمان بهتری خواهند داشت. به عبارت دیگر در شرایط فشار یکسان، برای ساخت پوسته مرکب جنس کمتری مصرف شود. برای اینکه پوسته مرکب بصورت واحد عمل کند، لازم است استوانه داخلی در داخل استوانه خارجی جا زده شود. بدین منظور در حالتی که پوسته مرکب از دو استوانه تشکیل شده است، شعاع خارجی پوسته داخلی کمی بیشتر از شعاع داخلی پوسته خارجی انتخاب می‌شود. سپس پوسته خارجی حرارت داده شده، و پوسته داخلی داخل آن جا داده می‌شود. پس



شکل (11-5)

$$P = \frac{200 \times 10^9 \times 0.0001}{0.2} \cdot \frac{(0.2^2 - 0.15^2)(0.25^2 - 0.2^2)}{2(0.2^2)(0.25^2 - 0.15^2)} = 12.3 \text{ MPa}$$

تنش‌های محیطی در پوسته خارجی در اثر این فشار، با استفاده از رابطه (11-11) برابر می‌شوند با:

$$(\sigma_\theta)_{r=0.2} = P \frac{b^2 + c^2}{c^2 - b^2} = 12.3 \times 10^6 \cdot \frac{0.2^2 - 0.25^2}{0.25^2 - 0.2^2} = 56 \text{ MPa}$$

$$(\sigma_\theta)_{r=0.25} = \frac{2Pb^2}{c^2 - b^2} = 2 \times 12.3 \times 10^6 \cdot \frac{0.2^2}{0.25^2 - 0.2^2} = 43.7 \text{ MPa}$$

تنش‌های محیطی در پوسته داخلی از رابطه (11-14) برابر می‌شوند با:

$$(\sigma_\theta)_{r=0.15} = -\frac{2Pb^2}{b^2 - a^2} = -2 \times 12.3 \times 10^6 \cdot \frac{0.2^2}{0.2^2 - 0.15^2} = -56.2 \text{ MPa}$$

$$(\sigma_\theta)_{r=0.2} = -P \frac{b^2 + a^2}{b^2 - a^2} = -12.3 \times 10^6 \cdot \frac{0.2^2 + 0.15^2}{0.2^2 - 0.15^2} = -43.9 \text{ MPa}$$

این تنش‌ها در شکل (11-5b) با خطچین‌ها  $kk$  و  $mm$  نشان داده شده‌اند. تنش‌های محیطی فقط در اثر فشار داخلی  $140 \text{ MPa}$ ، از رابطه (11-11) با قراردادن  $c = b$  برابر خواهد شد با؟

$$(\sigma_\theta)_{r=0.15} = 284 \text{ MPa} \quad \text{و} \quad (\sigma_\theta)_{r=0.2} = 192 \text{ MPa} \quad \text{و} \quad (\sigma_\theta)_{r=0.25} = 150 \text{ MPa}$$

توزيع این تنش‌ها در شکل (11-5b) با خطچین  $nn$  نشان داده شده است. نتیجه تنش از ترکب تنش‌های بدست آمده حاصل می‌شود. این توزیع نیز در شکل (11-5b) بصورت خط پررسم شده است. درنتیجه دیده می‌شود که در پوسته مرکب، تنش ماگزیم از  $284 \text{ MPa}$  به  $247.5 \text{ MPa}$  تقلیل یافته است. اگر در طرح پوسته از تثویر ماگزیم تنش نرمال استفاده شود، وزن پوسته به مقدار قابل توجهی کم خواهد شد.

باید توجه داشت که استفاده از یک پوسته دیگر باندازه پوسته اضافی اول در کم کردن تنش مؤثر نیست. ولی بهر حال یک پوسته چند لایه می‌تواند فشار بیشتری را نسبت به پوسته یک لایه تحمل نماید. با طراحی مناسب می‌توان در پوسته چند لایه توزیع تنش تقریباً یکنواختی ایجاد کرد.

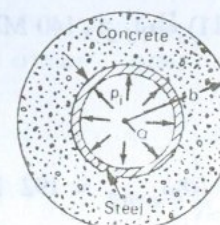
#### مثال 11-4

در شکل (11-6) یک لوله هادی مایع نشان داده شده است. این لوله از یک لوله نازک فولادی و پوششی از بتون تشکیل گردیده است. مشخصات فولاد و بتون ترتیب  $E_s$ ،  $E_c$  و  $\nu_c$  می‌باشد. لوله مرکب تحت فشار داخلی  $P$  بین فولاد و بتون را محاسبه کنید.

حل - تغییر مکان لوله بتونی در  $r = a$  از رابطه (12-11) برابر می‌شود با:

$$u = \frac{Pa}{E_c} \left( \frac{a^2 + b^2}{b^2 - a^2} + \nu_c \right) \quad (a)$$

عکس نمایندگی از مقاله ایشان در مجله مهندسی ساختمان آلمانی (Bauingenieur) شماره ۱۱-۲۰۰۷



شکل (11-6)

لوله فولادی تحت فشار داخلی  $P_i$  و فشار خارجی  $P$  قرار دارد. درنتیجه تنش محیطی در این لوله برابر خواهد شد با:

$$\sigma_\theta = \frac{P_i - P}{t} (a - t/2) = \frac{P_i - P}{2} \left( \frac{2a}{t} - 1 \right) \quad (b)$$

با استفاده از قانون هوک و رابطه (2-11)، در  $a = r$ ، رابطه تنش - تغییر مکان بصورت زیر خواهد بود:

$$\sigma_\theta = E_s \varepsilon_\theta = E_s \frac{u}{a} \quad (c)$$

با محاسبه  $u$  از روابط (b) و (c) و قراردادن آن در رابطه (a)، فشار بین دو برابر می شود با:

$$P = \frac{P_i}{1 + (E_s / E_c) (2t / (2a - t)) ((a^2 + b^2) / (b^2 - a^2) + \nu_c)} \quad (11-22a)$$

در عمل می توان از مقادیر زیر استفاده کرد:

$$\frac{E_s}{E_c} = 15 \quad \text{و} \quad \nu_c = 0.2 \quad \text{و} \quad \frac{2t}{2a - t} \approx \frac{t}{a}$$

درنتیجه رابطه (11-22a) به صورت ساده تر زیر درمی آید:

$$P = \frac{P_i}{1 + 15(t/a)((R^2 + 1)/(-R^2 + 1) + 0.2)}$$

که در آن  $\frac{a}{b} = R$  می باشد. از روابط فوق دیده می شود که با افزایش ضخامت  $t$ ، فشار منتقل شده به لوله بتنه تقليل می یابد. در ضمن برای هر مقدار مشخص  $\frac{t}{a}$ ، فشار  $P$  با افزایش نسبت قطرها ( $R$ ) زیادتر می شود.

### 6-11 دیسک دوار با ضخامت ثابت؛

رابطه تعادل (1-11)، با اضافه کردن نیروی گریز از مرکز به عنوان نیروی حجمی، می تواند برای دیسک دوار بکار رود. در این حالت تنش حاصل از اثر چرخش حول محور چرخش توزیع یکنواخت دارد و فرض می شود بستگی به ضخامت دیسک ندارد. درنتیجه، با استفاده از رابطه (1-11) همراه با نیروی حجمی  $F_r$  برابر  $r \rho \omega^2 r$  (برای واحد حجم) نتیجه می شود:

$$\frac{d\sigma_r}{dr} + \frac{\sigma_r - \sigma_\theta}{r} + \rho \omega^2 r = 0 \quad (11-23)$$

در این رابطه  $\rho$  دانسته جرمی و  $\omega$  سرعت زاویه ای ثابت دیسک بر حسب رادیان بر ثانیه می باشد. باید توجه داشت که از نیروی حجمی در اثر وزن،  $g$ ،  $\rho$ ، صرفنظر شده است. با قراردادن رابطه (11-16) در رابطه (11-23) نتیجه خواهد شد:

$$\frac{d^2u}{dr^2} + \frac{1}{r} \frac{du}{dr} - \frac{u}{r^2} = -(1 - \nu^2) \rho \omega^2 r / E \quad (a)$$

این عبارت دارای دو جواب عمومی و خصوصی است. جواب عمومی همان رابطه (a) قسمت (2-11) می باشد. بسهولت می توان نشان داد که جواب خصوصی نیز بصورت زیر است:

$$u_p = -(1 - \nu^2) \frac{\rho \omega^2 r^3}{8E}$$